

1968

CO

1968

5 Д 154. Релаксация распределения заряда в молекуле и колебательная силовая постоянная. Bader R. F. W.

Bandrauk A. D. Relaxation of the molecular charge distribution and the vibrational force constant. «J. Chem. Phys.», 1968, 49, № 4, 1666—1675 (англ.)

При помощи теоремы Геллмана — Фейнмана (ГФ) и литературных данных по хартии-фоковским волн. ф-циям вычислены квадратич. k_2 и кубич. k_3 силовые постоянные молекул N₂, CO, BF, BeO и LiF. Результаты сопоставлены с эксперим. данными и показано, что разность вычислennых и опытных значений k_2 и k_3 зависит от использованного при расчете значения равновесного межъядерного расстояния R_e , причем при использовании опыта

+Ч

(см. также N₂) III

☒

9. 1969. 58

ного значения R_c вместо хартри-фоковского R_c это расхождение минимально. Анализированы вклады градиента эффективного статич. поля и релаксации распределения заряда при смещениях ядер в k_2 . Отмечено, что ф-ла для k_2 , полученная при помощи теоремы ГФ, содержит разности больших чисел, что приводит к большим ошибкам при расчете. Построены кривые распределения заряда и рассмотрена связь между отдельными электронными вкладами в k_2 и этими кривыми, а также корреляция между действующими на ядра силами и распределением заряда.

М. Р. Алиев

CO

B91 - XIV - 614

1968

u.u.

~~60700u~~ Molecular constants of carbon monoxide. Bouanich,
Jean Pierre; Levy, Armand; Haeusler, Claude (Lâb. Intra-
rouge, Fac. Sci., Paris, Fr.). *J. Phys. (Paris)* 1968, 29(7),
641-5 (Fr). The band $\nu_{0\rightarrow1}$ of CO was measured at 10.8, 21.3,
and 60 cm. Hg. These data, extrapolated to 0 pressure, give
a value for $\Delta\nu$ of $6350.432 \text{ cm.}^{-1}$ New values of the vibration-
rotation consts., the dipole moment function, $M = 0.48 \text{ D.}$,
and of the quadrupole moment, $Q = 2.4 \times 10^{-26} \text{ esu. cm.}^2$
were calcd. and gave a theoretical curve which follows the exptl.
values of the half-widths of the lines. Janet E. Austin

C.A. 1969.

70.12

CO

спектр

и. и.

УД294. Молекулярные константы окиси углерода.
Воуанчик Jean-Pierre, Лévy Armand, Нас-
усье Claude. Constantes moléculaires de l'oxyde de
carbone. «J. phys.», 1968, 29, № 7, 641—645 (франц.; рез.
англ.)

1968

Получены спектры поглощения окиси углерода в об-
ласти колебательного перехода $3\leftarrow 0$ с разрешением око-
ло $0,1 \text{ см}^{-1}$ в слое 20 м при давлениях 10—60 мм рт. ст.
Произведен вращательный анализ колебательно-врача-
тельной полосы и определены вращательные постоянные
 B_0 , B_3 , D_0 , D_3 , B_e и D_e и ангармоничности $x_e\omega_e$ и $y_e\omega_e$.
Анализ интенсивности спектра позволил определить 4-й
член разложения ф-ции дипольного момента $M(r)$ моле-
кулы по колебательной координате. Авторы приводят
ф-цию $M(r)$ с точностью до 4-го члена разложения.
Расчеты полуширины колебательно-вращательных линий
показывают, что наилучшее согласие с опытными да-
ними может быть получено, если положить квадру-
польный момент CO $Q=3 \cdot 10^{-26}$ ед. CGSE. Библ. 20.

М. В. Тонков

91 1969.

19A

Б9-XIV-614

CO

1968

8 Д410. ИК-поглощение в области 21 μ окиси углерода, адсорбированной на платине, нанесенной на подложку кремнезема. Clarke J. K. A., Fagge G. M., Rubalcava H. E. Infrared absorption at 21 μ of carbon monoxide adsorbed on silica-supported platinum. «J. Phys. Chem.», 1968, 72, № 1, 327—330 (англ.)

Исследован спектр CO, хемосорбированной на Pt, нанесенной на Кабосил. Давление CO в кювете составляло ~ 1 мм рт. ст., т-ра обработки 250°C . В области $\sim 476 \text{ см}^{-1}$ обнаружена слабая диффузная полоса поглощения, идентифицированная как вал. кол. C—Pt. Получены значения силовых постоянных с учетом взаимодействия C—O и C—Pt-связей: $F_{\text{CO}} = 17,16$, $F_{\text{CM}} = -3,51$ и $f = 1,34 \text{ мдн/А}$. Значение F_{CO} больше, а F_{CM} меньше, чем полученные для аналогичной системы без учета взаимодействия связей. Обсуждаются детали эксперимента. Библ. 11.

Э. В. Б.

90. 1968. 89

1968

CO

ЗД170. Силовые постоянные CO и CO—CO-взаимодействия в карбонилах металлов.—Ответ Джонсу.

Cotton F. A. CO force constants and CO—CO interaction constants of metal carbonyls: a reply to L. H. Jones. «Inorgan. Chem.», 1968, 7, № 8, 1683 (англ.)

Автср, отвечая на письмо Джонса (реф. ЗД169), обсуждает три основных положения, критикуемых Джонсом: 1) о практичесности поля Коттона — Крайханцеля, 2) об удовлетворительности его, 3) о близости даваемых им результатов к экспериментальным. Утверждается, что доводы Джонса не опровергают ни один из этих пунктов и что этот метод применим для определения относительного значения силовой постоянной растяжения CO и CO—CO-взаимодействия. Условие $1 < k_t/k_c < 3$ выполняется для большого числа карбонилов металлов. Е. И. Креденцер

Чел. посёл.

9. 1969

39

1968

CO

Чаркеев О.К.
Демченко Н.Е.

(y)

М. Спиркум. Денежка,

1968, 9, № 5, 867



(Ces. 215,
соп. енор.)^{III}

1968

CD

γ

Davies G. W.

Cheer. Phys. Lett., N2(3),
173.

Ionization potentials by
the complete neglect of
differential overlap

(Cee. BF_3) III

I968

CO

Dowling J.M.

J.Quant.Spect.Rad.Trans., 9,
1613

Line widths in the pure rotational spectrum of CO.

CO

BP-A1158 -

1968

Empedocles P.

car.
noem
Theor. chim Acta 1968, 10(4)

331-6

CO

1968

8 Д272. Определение полуширии линий чистой CO с высокой разрешающей силой. Hunt Robert H., Toth Robert A., Pyle Eggle K. High-resolution determination of the widths of self-broadened lines of carbon monoxide «J. Chem. Phys.», 1968, 49, № 9, 3909—3912 (англ.)

Измерены полуширины линий вращательной структуры первого обертона чистой CO (комнатная т-ра, $P = 1 \div 2$ атм.). Использование спектрографа с разрешением $0,045 \text{ см}^{-1}$ позволило повысить точность ранее известных результатов до $\pm 3\%$ и измерить значения полуширии линий вплоть до $|m|=31$. Значения полушириин γ_m^0 изменяются от $0,088 \text{ см}^{-1}\text{атм}^{-1}$ при $|m|=1$ до $0,6044 \text{ см}^{-1}\text{атм}^{-1}$ при $|m|=31$. Отмечается, что результаты прямого измерения γ_m^0 и ее определения по пиковым интенсивностям линий (аппроксимация лорентцевским контуром) совпадают с точностью $\sim 2\%$.

А. П. Коузов

09. 1969

89

1968

CO

ЗД169. Силовые постоянные CO и CO-CO-взаимодействия в карбонилах металлов. Jones Llewellyn H. CO force constants and CO-CO interaction constants of metal carbonyls. «Inorgan. Chem.», 1968, 7, № 8, 1681—1682 (англ.)

Обсуждается применимость приближения Коттона—Крайханцеля (РЖФиз, 1968, 6Д405) для вычисления силовой постоянной растяжения CO-связи и постоянной CO-CO-взаимодействия в соединениях типа $\text{CF}_3\text{Mn}(\text{CO})_5$. Для проверки этого приближения сделаны расчеты силовых постоянных в системе общего валентно-силового поля для молекулы $\text{Mn}(\text{CO})_5\text{Br}$.

Сдел. Иосей.

ф. 1969. 39

Приводятся таблицы наблюдаемых фундаментальных частот и комбинационных полос СО; фундаментальных частот растяжения СО и ангармонич. поправок. Полученные значения силовых постоянных обсуждаются и сравниваются с приближенными. Делается заключение, что приближение Коттона—Крайханцеля и предположение $k_t/k_c=2$ неприемлемы и что совпадение вычисленных и наблюденных частот не является доказательством его правильности.

Е. И. Креденцер

CO

1968

М.Л.К.р.н.
Г

21 Б24. Электронная структура окси углерода.
Улучшенный метод ЛКАО. Juig André, Pellegrati Alain p. Structure électronique de l'oxyde de carbone:
méthode L. C. A. O. améliorée. «J. chim. phys. et phys.-
chim. biol.», 1968, 65, № 2, 242—246 (франц., рез. англ.)

По улучшенному методу МО ЛКАО рассчитана молекула CO. После подбора параметров теории получены удовлетворительные значения энергий первых электронных переходов, включающих также возбуждение σ -электронов; однако теоретич. значение дипольного момента слишком велико (меняется в пределах от $-0,9$ до $+1,8 D$; эксперим. значение $-0,118 D$, $C-O^+$).

Т. К. Ребанс

х. 1968-21

CO

1968

9 Д101. Изучение электронной структуры окиси углерода улучшенным методом ЛКАО. Julg André, Pellegratti Alain. Structure électronique de l'oxyde de carbone: méthode L.C.A.O. améliorée. «J. chim. phys. et phys.-chim. biol.», 1968, 65, № 2, 242—246 (франц.; рез. англ.)

Методом ЛКАО исследована электронная структура молекулы CO. Рассмотрена делокализация σ -электронов в молекуле. Соответствующим подбором σ -орбитали удалось добиться хорошего совпадения вычисленных электронных переходов с экспериментальными. Вычисленный постоянный дипольный момент оказался завышенным.

И. С. Милевская

Ф. 1968 . 92

1968

 $M(CO)_5X$ C≡O

(V.)

23276h The b_1 carbonyl stretching mode in the infrared spectra of C_{4v} $M(CO)_5X$ complexes. Kettle, S. F. A.; Paul, I. (Univ. Sheffield, Sheffield, Engl.). *Inorg. Chim. Acta* 1968, 2(1), 15-16 (Eng.). The observation of a peak in the ir spectra of $M(CO)_5X$ complexes (C_{4v} symmetry) attributable to the b_1 $C\equiv O$ stretching mode is discussed. A mechanism is suggested whereby this formally forbidden mode becomes active. The mechanism involves excitation of the b_1 mode in mols. which are not in the vibrational ground state.

RCPY

CIA 1968-69-6

CO

Kruzenie P.M.,
Benesch W.

1968

J. Res. NBS, 72A, 495

Electronic transition mo-
ment integrals for first
ionization of CO and
the A-X transition in
 CO^+ . Some limitations
on the use of the
 α -centroid approximation

CO

1969

6 Д210. Константа спин-вращательного взаимодействия и вращательный магнитный момент $C^{13}O^{16}$. Ozier
Irving, Старо Lawrence M., Ramsey Nog-
man F. Spin rotation constant and rotational magnetic
moment of $^{13}C^{16}O$. «J. Chem. Phys.», 1968, 49, № 5, 2314—
2321 (англ.)

99. 1969. 69

CO

12 Д127. Электронные переходы молекул CO, N₂ и NO, помещенных в твердые матрицы инертных газов: качественное обсуждение. Roncin Jean-Yves. Electronic transitions of CO, N₂ and NO molecules trapped in solid rare gas matrices: Qualitative discussion. «J. Molec. Spectrosc.», 1968, 26, № 1, 105—110 (англ.)

1968

Дана качеств. интерпретация сдвига и уширения электронно-колебательных полос поглощения молекул CO, N₂ и NO, помещенных в твердые матрицы Ne, Ar, Kr и Xe, основанная на относит. размерах молекулы и кристаллич. ячейки и симметрии ячейки. Отмечено, что величина возмущения полос сильно зависит от размеров орбит возбужденных электронных состояний. Сдвиг и уширение полос переходов на низкие электронные уровни незначительны, а ридберговые серии, соответствующие переходам на высоковозбужденные состояния, подвержены весьма сильному воздействию кристаллич. поля. Обсуждается также вклад заторможенного вращения молекул в кристалле на ширину полос.

М. Р. Алиев

Ф. 1968.

129

CO

1968
3 Б39. Электронные переходы молекул CO, N₂ и NO в твердых матрицах из инертных газов. Качественное обсуждение. Roncini Jean-Yves. Electronic transitions of CO, N₂ and NO molecules trapped in solid rare gas matrices: Qualitative discussion. «J. Molec. Spectrosc.», 1968, 26, № 1, 105—110 (англ.)

Обсуждение сообщенных ранее эксперим. данных. Изменения в энергиях переходов связываются с влиянием размеров возбужденных орбит, на которые происходит переход. Эти изменения велики для ридберговых и малы для валентных переходов. Обсуждается проблема вращения в твердых матрицах. Из спектров предсказана ориентация N₂ в неоновой матрице.

Резюме

X · 1969 · 3

¹²C¹⁶O

B9P-4505-X 1968

Rey R. S.

Proc. Phys. Soc., London,
pt. Mol. Phys., [2] 1 (2),
320.

An empirical relation-
ship between bond
length and frequency
(See: Chy) III

CO

Rothe A. E.
McLaa A. Y.

1888

check

N. S. At. Energy Comm.,
CAZ-TR-165, 20 pp.

(See. N₂) III

CO

Синтез

1968
9 Д242. О полосах Ангстрема в электронном спектре молекулы $\text{C}^{12}\text{O}^{18}$. Rytel M. Note on the Ångström Bands of the $^{12}\text{C}^{18}\text{O}$ Molecule. «Acta phys. polon.», 1968, 34, № 5, 953 (англ.)

Предварительное сообщение об исследовании спектра испускания молекулы $\text{C}^{12}\text{O}^{18}$ (с 18%-ным обогащением) в видимой области. Начало полос Ангстрема найдено равным (все — в см^{-1}): (0,1) — 20714,5; (0,2) — 19301,6; (0,3) — 17920,5; (0,4) — 16572,8.

С. Ф. Б.

92. 1969. 99

CO

1968

Setzer D. W.

Stedman D. H.

зексп.
анексп.

J. Chem. Phys., 49(1), 467

(cell. CO₂) III

1968

CO

7 Д290. Спектр поглощения высокого разрешения в вакуумной УФ-области переходов $B^1\Sigma^+$ — $X^1\Sigma$, $C^1\Sigma^+$ — $X^1\Sigma^+$ и $j^3\Sigma^+$ — $X^1\Sigma^+$ окиси углерода. Tilford S. G., Vanderslice Joseph T. High resolution vacuum ultraviolet absorption spectra of the $B^1\Sigma^+$ — $X^1\Sigma^+$, $C^1\Sigma^+$ — $X^1\Sigma^+$, and $j^3\Sigma^+$ — $X^1\Sigma^+$ transitions in carbon monoxide. «J. Molec. Spectrosc.», 1968, 26, № 4, 419—431 (англ.)

м.и.

Получен спектр поглощения при высоком разрешении в вакуумной УФ-области (1060 Å) переходов $C-X$ и $B-X$ у $C^{12}O^{16}$ и $C^{13}O^{16}$. Проведен анализ структуры полос 1—0 и 0—0 обеих систем. Результаты сведены в таблицу. Сделана попытка отождествить некоторые $B-X$ -переходы с $j^3\Sigma^+$ — $X^1\Sigma^+$ -переходом. Библ. 19.

Е. Рыльцев

ф. 1969, 78

1968

CO

14 Б146. Вакуумные ультрафиолетовые спектры поглощения высокого разрешения переходов $B^1\Sigma^+ - X^1\Sigma^+$, $C^1\Sigma^+ - X^1\Sigma^+$ и $J^3\Sigma^+ - X^1\Sigma^+$ в окиси углерода. Tilford S. G., Vanderslice Joseph T. High resolution vacuum ultraviolet absorption spectra of the $B^1\Sigma^+ - X^1\Sigma^+$, $C^1\Sigma^+ - X^1\Sigma^+$, and $J^3\Sigma^+ - X^1\Sigma^+$ transitions in carbon monoxide. «J. Molec. Spectrosc.», 1968, 26, № 4, 419—431 (англ.)

Сняты УФ-спектры поглощения высокого разрешения $C^{12}O^{16}$ и $C^{13}O^{16}$ в области вплоть до 1060 Å. Выполнен анализ вращательной структуры полос ($O-O$) и ($1-O$) в переходах $C^1\Sigma^+ - X^1\Sigma^+$ и $Z^1\Sigma^+ - X^1\Sigma^+$ для обеих молекул. Система полос в $C^{12}O^{16}$ в области 1099 и 1073 Å, ранее отнесенная к типу $B-X$, связывается с дополнительной системой, предварительно идентифицированной как $J^3\Sigma^+ - X^1\Sigma^+$. Вычислены молек. константы $C^{12}O^{16}$ для всех трех состояний $B^1\Sigma^+$, $C^1\Sigma^+$ и $J^3\Sigma^+$. Б. В. Рассадин.

и. и.

Х. 1969

14

CO

1968

Reiley

55949 High-resolution vacuum ultraviolet absorption spectra of the $B^1\Sigma^+ - X^1\Sigma^+$, $C^1\Sigma^+ - X^1\Sigma^+$, and $j^3\Sigma^+ - X^1\Sigma^+$ transitions in carbon monoxide. Tilford, S. G.; Vanderslice, Joseph T. (Nav. Res. Lab., E. O. Hulbert Center for Space Res., Washington, D.C.). *J. Mol. Spectrosc.* 1968, 26(4), 419-31 (Eng). The $C-X$ and $B-X$ transitions in $^{12}\text{C}^{16}\text{O}$ and $^{13}\text{C}^{16}\text{O}$ were studied under high resoln. Rotational analyses were performed on the (1-0) and (0-0) bands of both systems. Bands previously thought to be part of the $B-X$ system have been assigned to an addnl. system, tentatively identified as $j^3\Sigma^+ - X^1\Sigma^+$. 19 references.

RCKP

C.A. 1968

69.14

CO

1968

) 9 Д287. ИК-спектры CO. Young Lee A. CO infrared spectra. «J. Quant. Spectrosc. and Radiat. Transfer», 1968, 8, № 2, 693—716 (англ.)

Вычислены значения интенсивностей линий в колебательно-вращательных полосах молекулы CO, соответствующих переходам типа $v \rightarrow v + n$ при значениях n от 1 до 3 (основная полоса и первые два обертона) и различных значениях v (переходы с основного уровня при $v=0$ и соответствующие им «горячие» полосы). Вычисления проведены для т-р от 300 до 9000° К. Представлены кривые средних значений спектральных коэф. поглощения оптически тонких слоев CO в рассматриваемой области спектра, полученные из усредненных по интервалам от 1 до 10 см^{-1} значений интенсивностей линий.

К. Василевский

09.1968.99

1968

CO

22 Б277. Инфракрасные спектры CO. Young Lee A.
 CO infrared spectra. «J. Quant. Spectrosc. and Radiat. Transfer», 1968, 8, № 2, 693—716 (англ.)

Вычислены интегральные коэф. экстинкции ИК-полос поглощения CO, соответствующих как основным колебаниям, так и первым двум обертонам. Расчеты произведены с использованием соответствующих матричных элементов переходов. Из полученных значений коэф. экстинкции рассчитаны спектральные коэф. поглощения, усредненные для нескольких линий. Особое внимание уделено рассмотрению физ. условий, при которых эти усредненные коэф. могут быть использованы для определения поглощения или эмиссии.

Резюме

X. 1968

22

1968

CO

12 Д680. Излучение в области 4000—8000 Å при вакуумном УФ-фотолизе N₂O, NO, NO₂, CO, CO₂ и O₂.

Young R. A., Black G., Slanger T. G. 4000—8000-Å emission from far-ultraviolet photolysis of N₂O, NO, NO₂, CO, CO₂ and O₂. «J. Chem. Phys.», 1968, 48, № 5, 2067—2070 (англ.)

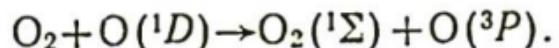
Синхр

Наблюдано появление люминесценции в видимой области спектра (4000—8000 Å) при фотолизе некоторых простых газов под действием далекого УФ-излучения Ar-, Kr- и Xe-резонансных ламп. Анализ спектров флуоресценции CO и NO, подвергшихся фотолизу при $\lambda=1470$ Å, дает основание полагать, что исходными состояниями в излучении в случае CO является $d^3\Delta v=7$ (переход $d^3\Delta-a^3\Pi$), а в случае NO — ряд мало известных высших состояний, из которых происходят переходы в $A^2\Sigma$ -, $B^2\Pi$ -, $C^2\Pi$ - и $D^2\Sigma$ -состояния. Фотолиз CO₂

φ·1968·12X9



приводит к появлению линии 5577 Å O(¹S) при возбуждении всеми длинами волн от 11048 до 11470 Å; при более длинноволн. возбуждении состояние O(¹S) образуется в результате вторичных процессов. При 11 470 Å фотолиз N₂O приводит к появлению O(¹S) и NO β-полос ($B^2\pi \rightarrow X^2\pi$). O(¹S) образуется непосредственно в процессе фотодиссоциации: $N_2O \rightarrow N_2(X^1\Sigma) + O(^1S)$. Измененный квантовый выход O(¹S) равен 0,02. NO(B²π) образуется, вероятно, при бомбардировке N₂O атомами O. Облучение Кг-лампой (11165 и 1236 Å) вызывает появление первой положит. системы полос ($B^3\pi \rightarrow A^3\Sigma$) N₂. При фотолизе O₂ излучающими центрами оказываются O₂(b¹Σ_g⁺), образующиеся преположительно в результате дезактивации O(¹D):



Фотолиз NO₂ при $\lambda=1470$ Å сопровождается появлением сплошного континуума, как это имеет место при реакции O+NO. Библ. 14.

А. М. М.

1968

CO

No

O₂

Upper

U.g.

118287f The 4000-8000-A. emission from far-ultraviolet photolysis of N₂O, NO, NO₂, CO, CO₂, and O₂. R. A. Young, G. Black, and T. G. Slanger (Stanford Res. Inst., Menlo Park, Calif.). *J. Chem. Phys.* 48(5), 2067-70(1968)(Eng). Luminescence has been observed in the 4000-8000-A. region during the uv photolysis of a no. of simple gases with Ar, Kr, and Xe resonance lamps. CO and NO photolyzed at 1470 Å. give fluorescence spectra, emission being produced from the $d^3\Delta_{1,-7}$ state of CO and from a no. of little-known upper states of NO. CO₂ photolysis gives the 5577-Å. line of O(¹S) at all wavelengths from 1048 to 1470 Å.; at the longer wavelengths the O(¹S) is formed in a secondary process, as there is insufficient energy available during the initial dissociation. The N₂O photolysis produces the N₂ first pos. bands, the NO β -bands; and O(¹S), depending on the photolyzing wavelength. In O₂ photolysis, the only emitting species is O₂($b^1\Sigma_g^+$), presumably formed during O(¹D) deactivation.

RCJQ

(tun)

C. A. 1968. 68-26

